

# Свободная энергия 6-вершинной модели в термодинамическом пределе

Полина Болохова, Иван Павлов

14 мая 2025 г.

## 1 Уравнения анзаца Бете и их термодинамический предел

Стартуем с уравнений анзаца Бете, полученных из требования, чтобы вектор

$$\Phi(u_1, \dots, u_n) = B(u_1) \dots B(u_n) \Psi_0, \quad (1)$$

где  $B(u_i)$  - компонента матрицы монодромии,  $\Psi_0 = (+, \dots, +) \in (\mathbb{C}^2)^{\otimes N}$ , являлся собственным для трансфер-матрицы,  $N$  - число столбцов решетки,  $n$  - число, нумерующее вектор Бете. Это требование удовлетворяется при выполнении уравнений:

$$\left( \frac{a(u_j)}{b(u_j)} \right)^N = \prod_{i=1, i \neq j}^n \frac{a(u_j - u_i) b(u_i - u_j)}{b(u_j - u_i) a(u_i - u_j)}, \quad j = 1, \dots, n \quad (2)$$

Соответствующее собственное значение равно

$$\Lambda(u, u_1, \dots, u_n) = a^N(u) \prod_{i=1}^n \frac{a(u_i - u)}{b(u_i - u)} + b^N(u) \prod_{i=1}^n \frac{a(u - u_i)}{b(u - u_i)}. \quad (3)$$

Для параметров трансфер-матрицы выбрана параметризация:

$$\begin{cases} a(u) = s(\lambda - u), \\ b(u) = s(u), \\ \Delta = -c(\lambda), \end{cases} \quad (4)$$

причем

$$\begin{cases} s(u) = \sinh u, \quad c(u) = \cosh u, \quad \Delta < -1, \\ s(u) = \sin u, \quad c(u) = \cos u, \quad -1 < \Delta < 1. \end{cases} \quad (5)$$

(случай  $\Delta > 1$  уже разобрали предыдущие докладчики)

Тогда  $\frac{b(u_j - u_i)}{b(u_i - u_j)} = \frac{s(u_j - u_i)}{s(u_i - u_j)} = -1$ , и уравнения Бете переписываются в виде

$$\left( \frac{s(\lambda - u_j)}{s(u_j)} \right)^N = (-1)^{n-1} \prod_{i=1, i \neq j}^n \frac{s(\lambda + u_i - u_j)}{s(\lambda - u_i + u_j)} \quad (6)$$

Сделаем замены:

$$u_i = \lambda/2 + iv_i, \quad e^{ik(v)} = \frac{s(\lambda/2 + iv)}{s(\lambda/2 - iv)}, \quad e^{iS(v_i - v_j)} = \frac{s(\lambda + iv_i - iv_j)}{s(\lambda - iv_i + iv_j)}. \quad (7)$$

Тогда уравнение 6 переписется как

$$e^{ik(v_j)N} = (-1)^{n-1} \prod_{i=1}^n e^{iS(v_j - v_i)} \quad (8)$$

$$Nk(v_j) = 2\pi J_j + \sum_{i=1}^n S(v_j - v_i), \quad (9)$$

Числа  $J_j$ , возникшие при извлечении корня называются числами Бете, они полуцелые при четных  $n$  и целые при нечетных.

Наша цель - найти свободную энэгрию на ячейку в термодинамическом пределе, которая определяется максимальным собственным значением трансфер-матрицы. Термодинамический предел определяется как  $n, N \rightarrow \infty$ ,  $n/N = \text{const}$ . Эту задачу будем решать при трех предположениях:

1.  $J_{i+1} - J_i = 1$ ,
2.  $n/N = 1/2$ . Среднюю намагниченность можно измерить экспериментально, она оказывается равной нулю. Это позволяет предположить, что в состоянии с минимальной энергией в каждом ряду перевернута ровно половина спинов.
3. В основном состоянии все корни  $u_j = \lambda/2 + iv_j$  уравнения Бете таковы, что  $v_j$  вещественные и располагаются плотно и симметрично относительно нуля в интервале  $(-U; U)$ , то есть функция плотности корней

$$\rho(v) = \lim_{N \rightarrow \infty} \frac{1}{N} \frac{1}{v_{j+1} - v_j} \quad (10)$$

существует и симметрична.

Такое определение  $\rho(v)$  соответствует тому, что в интервале  $(v; v + dv)$  находится  $N\rho(v)dv$  корней Бете. Отсюда следует, что для произвольной функции  $f$

$$\lim_{N \rightarrow \infty} \frac{1}{N} \sum_{j=1}^n f(v_j) = \lim_{N \rightarrow \infty} \sum_{j=1}^n f(v_j) \rho(v_j) (v_j - v_{j-1}) = \int_{-U}^U f(v) \rho(v) dv \quad (11)$$

В частности,

$$\int_{-U}^U \rho(v) dv = \frac{n}{N} \quad (12)$$

В этих предположениях, вычитая соседние уравнения 9 и правильно переходя к пределу  $n \rightarrow \infty$  получаем интегральное уравнение

$$\frac{dk(v)}{dv} = 2\pi\rho(v) + \int_{-U}^U du \frac{dS(v-u)}{dv} \rho(u) \quad (13)$$

**Замечание.** Это уравнение на функцию  $\rho$  с параметром  $U$ . Но, поскольку мы зафиксировали отношение  $n/N = 1/2$ , на самом деле у нас есть система уравнений 12, 13, из которых можно найти и  $U$ , и  $\rho$ .

**Замечание.** Найдя решение  $\rho(v)$ , мы сможем выразить через него соответствующее собственное число  $\Lambda(u, u_1, \dots, u_n)$ . Если оно максимальное, мы далее можем найти и свободную энергию  $f = - \lim_{N \rightarrow \infty} \frac{\ln \Lambda_{\max}}{N}$  (примечание: в предыдущем докладе показано, что в случае однородной модели  $Z \sim \Lambda_{\max}^M$ , поэтому  $f \sim \frac{\ln Z}{MN} \sim \frac{\ln \Lambda_{\max}}{N}$  не зависит от числа рядов  $M$ ). А именно,

$$\begin{aligned} f &= - \lim_{N \rightarrow \infty} \frac{1}{N^2} \ln Z_N = - \lim_{N \rightarrow \infty} \frac{1}{N^2} \ln(\Lambda_{\max}^N) = \lim_{N \rightarrow \infty} \frac{\ln \Lambda_{\max}(u, u_1, \dots, u_n)}{N} = \\ &= - \max \left( \ln a(u) + \lim_{N \rightarrow \infty} \frac{1}{N} \sum_{i=1}^n \ln \frac{a(u_i - u)}{b(u_i - u)}, \ln b(u) + \lim_{N \rightarrow \infty} \frac{1}{N} \sum_{i=1}^n \ln \frac{a(u - u_i)}{b(u - u_i)} \right) \end{aligned} \quad (14)$$

Здесь возникают суммы по корням Бете, как в 11.

## 2 Решение уравнений Бете

Для начала решим уравнение 13 на  $\rho(v)$ . Дифференцируя уравнение 7, получаем

$$\begin{aligned} \frac{dk(v)}{dv} &= \frac{1}{i} \frac{d}{dv} \ln \left( \frac{s(\lambda/2 + iv)}{s(\lambda/2 - iv)} \right) = \frac{c(\lambda/2 + iv)s(\lambda/2 - iv) + c(\lambda/2 - iv)s(\lambda/2 + iv)}{s^2(\lambda/2 - iv)} \cdot \frac{s(\lambda/2 - iv)}{s(\lambda/2 + iv)} = \\ &= \frac{s(\lambda)}{s(\lambda/2 - iv)s(\lambda/2 + iv)}. \end{aligned} \quad (15)$$

Заметим, что  $k(v)$  и  $S(v)$  имеют одинаковый вид как функции от  $v$ , отличаются только заменой параметра  $\lambda/2 \rightarrow \lambda$ . Поэтому здесь и далее некоторые вычисления для  $k(v)$  и  $S(v)$  будут аналогичными.

Результат:

$$\begin{cases} \frac{dk(v)}{dv} = \frac{s(\lambda)}{s(\lambda/2 + iv)s(\lambda/2 - iv)}, \\ \frac{dS(v)}{dv} = \frac{s(2\lambda)}{s(\lambda - iv)s(\lambda + iv)}. \end{cases} \quad (16)$$

### 2.1 $\Delta < -1$

Вспомним, что в этом случае  $s(x) = \text{sh}(x)$ . Функции  $k'$  и  $S'$  имеют вид

$$\begin{aligned} k'(v) &= \frac{2 \text{sh}(\lambda)}{\text{ch}(\lambda) - \cos(2v)}; \\ S'(v) &= \frac{2 \text{sh}(2\lambda)}{\text{ch}(2\lambda) - \cos(2v)} \end{aligned} \quad (17)$$

периодичны с периодом  $\pi$ . Это значит, что мы можем решить уравнение 13 разложением в ряд Фурье на интервале  $(-U; U) = (-\frac{\pi}{2}; \frac{\pi}{2})$ . Сделаем это, а затем проверим, что условие нормировки 12 выполняется.

Пусть  $k'_l, S'_l$  – коэффициенты Фурье функций  $\frac{dk(v)}{dv}, \frac{dS(v)}{dv}$ , то есть

$$\frac{dk(v)}{dv} = \sum_{l \in 2\mathbb{Z}} k'_l e^{-ilv}, \quad \frac{dS(v)}{dv} = \sum_{l \in 2\mathbb{Z}} S'_l e^{-ilv} \quad (18)$$

$$k'_l = \frac{1}{\pi} \int_{-\pi/2}^{\pi/2} k'(v) \cos(kv) dv, \quad S'_l = \frac{1}{\pi} \int_{-\pi/2}^{\pi/2} S'(v) \cos(kv) dv \quad (19)$$

Считая эти интегралы (например, универсальной тригонометрической подстановкой), находим, что

$$k'_l = 2e^{-\lambda|l|/2}, \quad S'_l = 2e^{-\lambda|l|}. \quad (20)$$

Проверка:

$$\begin{aligned} \sum_{l \in 2\mathbb{Z}} e^{-\lambda|l|/2} e^{-ilv} &= \sum_{l=0,2,4,\dots} e^{-l(\lambda/2+iv)} + \sum_{l=-2,-4,\dots} e^{l(\lambda/2-iv)} = \frac{1}{1-e^{-(\lambda+2iv)}} + \frac{1}{1-e^{-(\lambda-2iv)}} - 1 = \\ &= \frac{1-e^{-2\lambda}}{(1-e^{-(\lambda+2iv)})(1-e^{-(\lambda-2iv)})} = \frac{1}{2} \frac{\operatorname{sh} \lambda}{\operatorname{sh}(\lambda/2+iv) \operatorname{sh}(\lambda/2-iv)} \end{aligned} \quad (21)$$

Пусть теперь  $\rho_l$  – Фурье-образ  $\rho(v)$ , то есть  $\rho(v) = \sum_{l \in 2\mathbb{Z}} \rho_l e^{-ilv}$ . Тогда  $\int_{-\pi/2}^{\pi/2} du \frac{dS(v-u)}{dv} \rho(u) = \pi \sum_{l \in 2\mathbb{Z}} S'_l \rho_l e^{-ilv}$  (Фурье свертки). Уравнение 13 приобретает вид

$$\sum_{l \in 2\mathbb{Z}} k'_l e^{-ilv} = 2\pi \sum_{l \in 2\mathbb{Z}} \rho_l e^{-ilv} + \pi \sum_{l \in 2\mathbb{Z}} S'_l \rho_l e^{-ilv} \quad (22)$$

$$\rho_l = \frac{k'_l}{\pi(2+S'_l)} = \frac{2e^{-\lambda|l|/2}}{2\pi(2+2e^{-\lambda|l|})} = \frac{1}{2\pi} \frac{1}{\operatorname{ch}(\lambda|l|/2)} \quad (23)$$

## 2.2 $|\Delta| < 1$

В этом случае  $s(x) = \sin(x)$ , функции  $k'(v)$  и  $S'(v)$  равны:

$$\begin{aligned} k'(v) &= \frac{2 \sin \lambda}{\operatorname{ch}(2v) - \cos \lambda}, \\ S'(v) &= \frac{2 \sin(2\lambda)}{\operatorname{ch}(2v) - \cos(2\lambda)}. \end{aligned} \quad (24)$$

Видно, что они убывают на  $\pm\infty$  как  $e^{-2|v|}$ . Следовательно, уравнение 13 можно решать преобразованием Фурье на  $(-U; U) = (-\infty; +\infty)$ .

$$\rho(v) = \int_{-\infty}^{\infty} dy \hat{\rho}(y) e^{-iyv}, \quad k'(v) = \int_{-\infty}^{\infty} dy \hat{k}'(y) e^{-iyv}, \quad S'(v) = \int_{-\infty}^{\infty} dy \hat{S}'(y) e^{-iyv}. \quad (25)$$

Поясним вычисление Фурье-образов.

$$\hat{k}'(y) = \frac{1}{2\pi} \int_{-\infty}^{\infty} \frac{dk(v)}{dv} e^{iyv} dv = \frac{1}{2\pi} \int_{-\infty}^{\infty} \frac{2 \sin \lambda}{\operatorname{ch} 2v - \cos \lambda} e^{iyv} dv \quad (26)$$

Полюса находятся в точках  $v_m = \pm \frac{\lambda}{2}i + \pi m i$ ,  $m \in \mathbb{Z}$ . Вычет в  $v_m$  равен:

$$\operatorname{res}_{\pm \frac{\lambda}{2}i + \pi m i} \frac{2 \sin \lambda e^{iyv}}{\operatorname{ch} 2v - \cos \lambda} = \pm \frac{1}{i} e^{-y(\pm \lambda/2 + \pi m)} \quad (27)$$

Можно проинтегрироваться по контуру, изображенному на рисунке, интеграл по полуокружности стремится к нулю. Переходя к пределу при  $R \rightarrow \infty$  в интеграле по контуру (рис.1), находим, что

$$\begin{aligned} \hat{k}'(y) &= 2\pi i \sum_{\pm \frac{\lambda}{2} + \pi m > 0} \operatorname{res}_{\pm \frac{\lambda}{2}i + \pi m i} \frac{2 \sin \lambda e^{iyv}}{\operatorname{ch} 2v - \cos \lambda} = e^{-\frac{\lambda}{2}y} + (e^{-\frac{\lambda}{2}y} - e^{\frac{\lambda}{2}y}) \sum_{m=1}^{\infty} e^{-y\pi m} = e^{-\frac{\lambda}{2}y} + (e^{-\frac{\lambda}{2}y} - e^{\frac{\lambda}{2}y}) \frac{e^{-\pi y}}{1 - e^{-\pi y}} \\ &= \frac{\operatorname{sh} \frac{\pi - \lambda}{2} y}{\operatorname{sh} \frac{\pi y}{2}} \end{aligned} \quad (28)$$

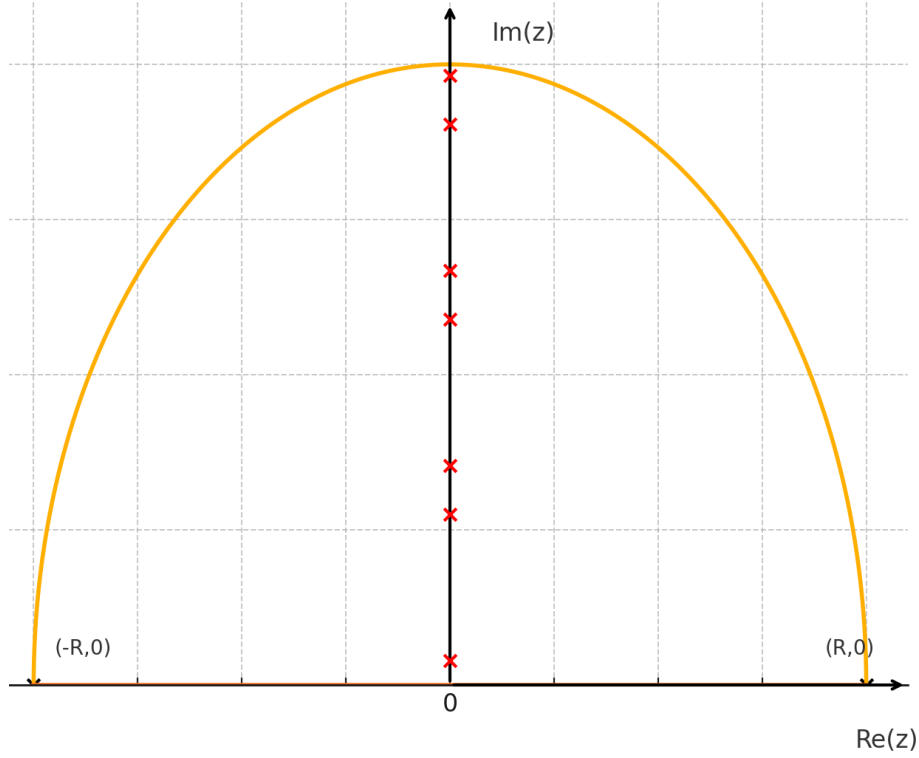


Рис. 1: Контур интегрирования, красным отмечены полюса  $v_m$

Таким образом,

$$\hat{k}'(y) = \frac{\text{sh}\left(\frac{(\pi-\lambda)y}{2}\right)}{\text{sh}\left(\frac{\pi y}{2}\right)}, \quad \hat{S}'(y) = \frac{\text{sh}\left(\frac{(\pi-2\lambda)y}{2}\right)}{\text{sh}\left(\frac{\pi y}{2}\right)}. \quad (29)$$

Выражение для Фурье-образа плотности такое же:

$$\hat{\rho}(y) = \frac{\hat{k}'(y)}{2\pi(1 + \hat{S}'(y))} = \frac{1}{4\pi} \frac{1}{\text{ch}\left(\frac{\lambda y}{2}\right)}. \quad (30)$$

**Замечание.** Мы нашли плотность корней в случаях  $\Delta < -1$  и  $|\Delta| < 1$  с учетом вышеуказанных предположений. В частности, мы угадали  $U = \frac{\pi}{2}$  и  $U = \infty$  соответственно. При этом условие нормировки действительно выполняется:

$$\frac{n}{N} = \int_{-U}^U \rho(u) du = \frac{1}{2}. \quad (31)$$

**Замечание.** Ранее мы предполагали, что соседние числа Бете отличаются на единицу. Если бы мы предположили, например, что  $J_{i+1} - J_i = j > 1$  (при этом опуская условие  $n/N = 1/2$ ), то смогли бы получить решение уравнений Бете (на тех же промежутках) точно таким же способом: например,  $\rho_l = \frac{1}{2\pi} \frac{1}{je^{\lambda|l|/2} + e^{-\lambda|l|/2}}$  при  $\Delta < -1$ . Это дало бы нам  $\frac{n}{N} = \frac{1}{j+1}$ , что заставляет усомниться в том, что такое решение соответствует максимальному собственному числу.

### 3 Вычисление свободной энергии

Теперь займемся вычислением свободной энергии на вершину. Напомним, что статсумма решетки  $N \times N$  равна  $Z_N = \text{Tr}(T(u)^N)$ , а  $\text{Tr}(T(u)^N) \sim \Lambda_{\max}^N$  при  $N \rightarrow \infty$ , поэтому наша свободная энергия равна:

$$\begin{aligned} f &= - \lim_{N \rightarrow \infty} \frac{1}{N^2} \ln Z_N = - \lim_{N \rightarrow \infty} \frac{1}{N^2} \ln(\Lambda_{\max}^N) = - \lim_{N \rightarrow \infty} \frac{\ln \Lambda_{\max}(u, u_1, \dots, u_n)}{N} = \\ &= - \max \left( \ln a(u) + \lim_{N \rightarrow \infty} \frac{1}{N} \sum_{i=1}^n \ln \frac{a(u_i - u)}{b(u_i - u)}, \ln b(u) + \lim_{N \rightarrow \infty} \frac{1}{N} \sum_{i=1}^n \ln \frac{a(u - u_i)}{b(u - u_i)} \right) \end{aligned} \quad (32)$$

Выразим свободную энергию через найденные функции. Сначала поработаем с левой частью в max:

$$\begin{aligned} \ln \frac{a(u_i - u)}{b(u_i - u)} &= \ln \frac{s(\lambda - (u_i - u))}{s(u_i - u)} = \ln \frac{s(\lambda/2 + (\lambda/2 - u_i + u))}{s(\lambda/2 - (\lambda/2 - u_i + u))} = ik \left( \frac{\lambda/2 - u_i + u}{i} \right) = ik(-v_i - iu) \\ \lim_{N \rightarrow \infty} \frac{1}{N} \sum_{i=1}^n \ln \frac{a(u_i - u)}{b(u_i - u)} &= \lim_{N \rightarrow \infty} \frac{1}{N} \sum_{i=1}^n ik(-v_i - iu) = - \int_{-U}^U ik(v + iu)\rho(v)dv \end{aligned} \quad (33)$$

С правой частью max все аналогично. Получаем формулу для свободной энергии через  $\rho, k$ :

$$f = - \max \left( \ln a(u) + \int_{-U}^U \rho(v)(-i)k(iu + v)dv, \ln b(u) + \int_{-U}^U \rho(v)(-i)k(i(\lambda - u) - v)dv \right) \quad (34)$$

### 3.1 $\Delta < -1$

Посчитаем интегралы, встречающиеся в формуле 34.

$$\begin{aligned} i \int_{-U}^U \rho(v)k(iu + v)dv &= -u - \int_{-U}^U dv \sum_{l, m \in 2\mathbb{Z}, \neq 0} \rho_m e^{-imv} \frac{k'_l}{l} e^{-il(iu+v)} = -u - \pi \sum_{l \in 2\mathbb{Z}, \neq 0} \rho_{-l} \frac{k'_l}{l} e^{lu} = \\ &= -u - \sum_{l \in 2\mathbb{Z}, \neq 0} \frac{e^{-\lambda|l|/2}}{l \operatorname{ch} \frac{\lambda l}{2}} e^{lu} = -u - \sum_{m=1}^{\infty} \frac{e^{-\lambda m}}{2m \operatorname{ch} \lambda m} e^{2mu} - \sum_{m=1}^{\infty} \frac{e^{-\lambda m}}{-2m \operatorname{ch} \lambda m} e^{-2mu} = \\ &= -u - \sum_{m=1}^{\infty} \frac{e^{-\lambda m} \operatorname{sh} 2mu}{m \operatorname{ch} \lambda m} \end{aligned} \quad (35)$$

Таким образом, свободная энергия:

$$f = - \max \left( \ln a(u) + u + \sum_{m=1}^{\infty} \frac{e^{-\lambda m} \operatorname{sh} 2um}{m \operatorname{ch} \lambda m}, \ln b(u) + (\lambda - u) + \sum_{m=1}^{\infty} \frac{e^{-\lambda m} \operatorname{sh} 2(\lambda - u)m}{m \operatorname{ch} \lambda m} \right) \quad (36)$$

Две части максимума отличаются заменой  $u$  на  $\lambda - u$ , так как  $a(u) = b(\lambda - u)$ .

**Замечание.** Если бы мы вычисляли все то же самое в предположении  $J_{i+1} - J_i = j > 1$ , то получили бы  $-\lim \frac{\ln \Lambda'}{N} = -\max(-\ln a(u) - u - \sum_{m=1}^{\infty} \frac{e^{-\lambda m} \operatorname{sh} 2um}{m} \frac{2}{je^{\lambda m} + e^{-\lambda m}}, \dots)$ . Слагаемые в ряду меньше, значит, собственное число, соответствующее решению с  $j > 1$ , не максимально. А если  $j = 0$ , то ряд вообще не сходится.

### 3.2 $|\Delta| < 1$

$$\begin{aligned} \int_{-\infty}^{\infty} \rho(v)(-i)k(iu + v)dv &= \int dz dy dv \hat{\rho}(z) e^{-izv} \frac{\hat{k}'(y)}{y} e^{-iy(iu+v)} = 2\pi \int_{-\infty}^{\infty} \frac{dy}{y} \hat{\rho}(-y) \hat{k}'(y) e^{yu} = \\ &= \int_{-\infty}^{\infty} \frac{dy \operatorname{sh} \frac{(\pi-\lambda)y}{2} e^{yu}}{2y \operatorname{sh} \frac{\pi y}{2} \operatorname{ch} \frac{\lambda y}{2}} = \int_0^{\infty} \frac{dy \operatorname{sh} \frac{(\pi-\lambda)y}{2} \operatorname{sh} yu}{y \operatorname{sh} \frac{\pi y}{2} \operatorname{ch} \frac{\lambda y}{2}} \end{aligned} \quad (37)$$

Таким образом, свободная энергия:

$$f = -\ln a(u) - \int_0^{\infty} \frac{dy \operatorname{sh} yu \operatorname{sh} \frac{\pi-\lambda}{2} y}{y \operatorname{sh} \frac{\pi y}{2} \operatorname{ch} \frac{\lambda y}{2}} = -\ln b(u) - \int_0^{\infty} \frac{dy \operatorname{sh}(\lambda - u)y \operatorname{sh} \frac{\pi-\lambda}{2} y}{y \operatorname{sh} \frac{\pi y}{2} \operatorname{ch} \frac{\lambda y}{2}} \quad (38)$$

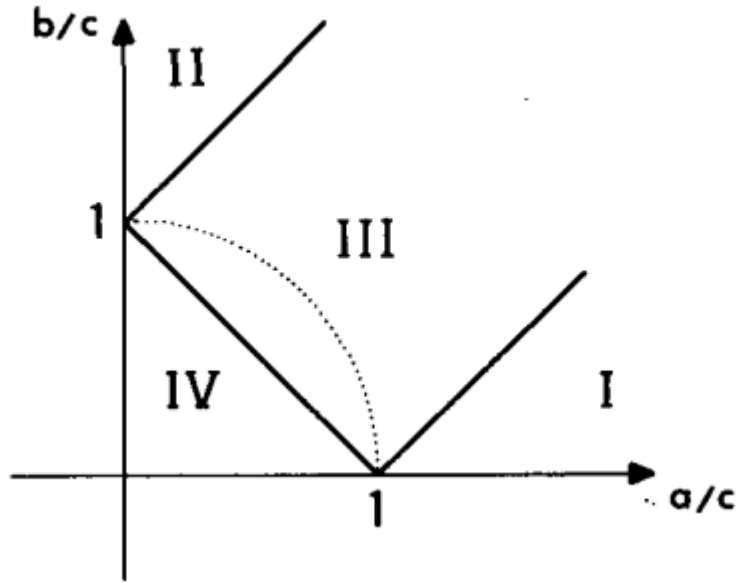
Снова две альтернативы оказываются равными.

## 4 Фазовая диаграмма

Напомним, что

$$\Delta = \frac{a^2 + b^2 - c^2}{2ab} \quad (39)$$

В зависимости от параметра  $\Delta$  в 6-вершинной модели имеются 4 фазы, на плоскости  $(a/c, b/c)$  они расположены так:



1)  $\Delta > 1$  - в этом случае система называется ферромагнетиком, свободная энергия находится тривиально, она равна  $\min(\varepsilon_1, \varepsilon_3)$ . Фазе I соответствует случай  $a > b + c$ , то есть свободная энергия равна  $\varepsilon_1$ , состоянию с минимальной энергией соответствует конфигурация, больцмановский вес которой равен  $a$ , то есть когда все вершины имеют вид  $R_{++}^{++}$ , или все вершины имеют вид  $R_{--}^{--}$

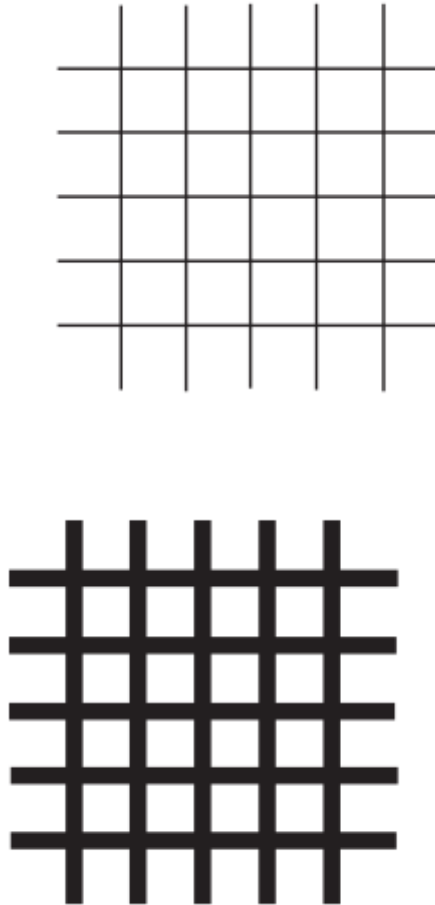


Рис. 2: Две решетки с минимальной энергией в ферромагнитной фазе при  $a > b + c$

Фазе II соответствует случай  $b > a + c$ , когда свободная энергия равна  $\varepsilon_3$  и состоянию с минимальной энергией соответствует конфигурация, где все вершины равны  $R_{+-}^{++}$  или  $R_{-+}^{--}$ :

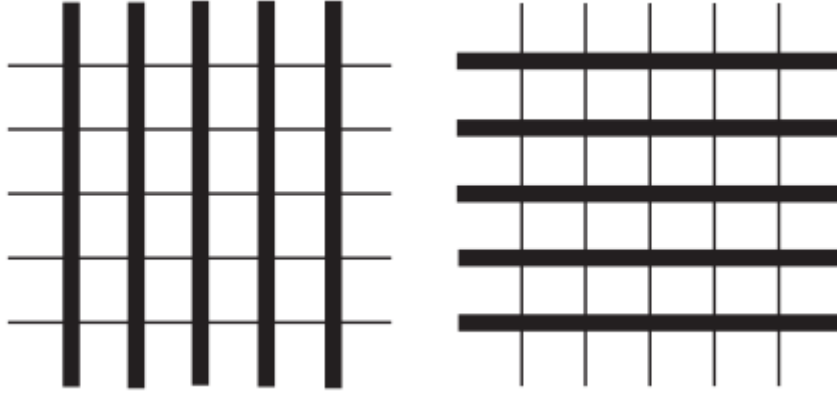


Рис. 3: Две решетки с минимальной энергией в ферромагнитной фазе при  $b > a + c$

2)  $\Delta < -1$  - в этом случае система называется антиферромагнетиком (фаза IV). Решетка, соответствующая конфигурации с минимальной энергией выглядит почти как на рис.4 (только вершины с энергией  $\varepsilon_5 = \varepsilon_6$ ),

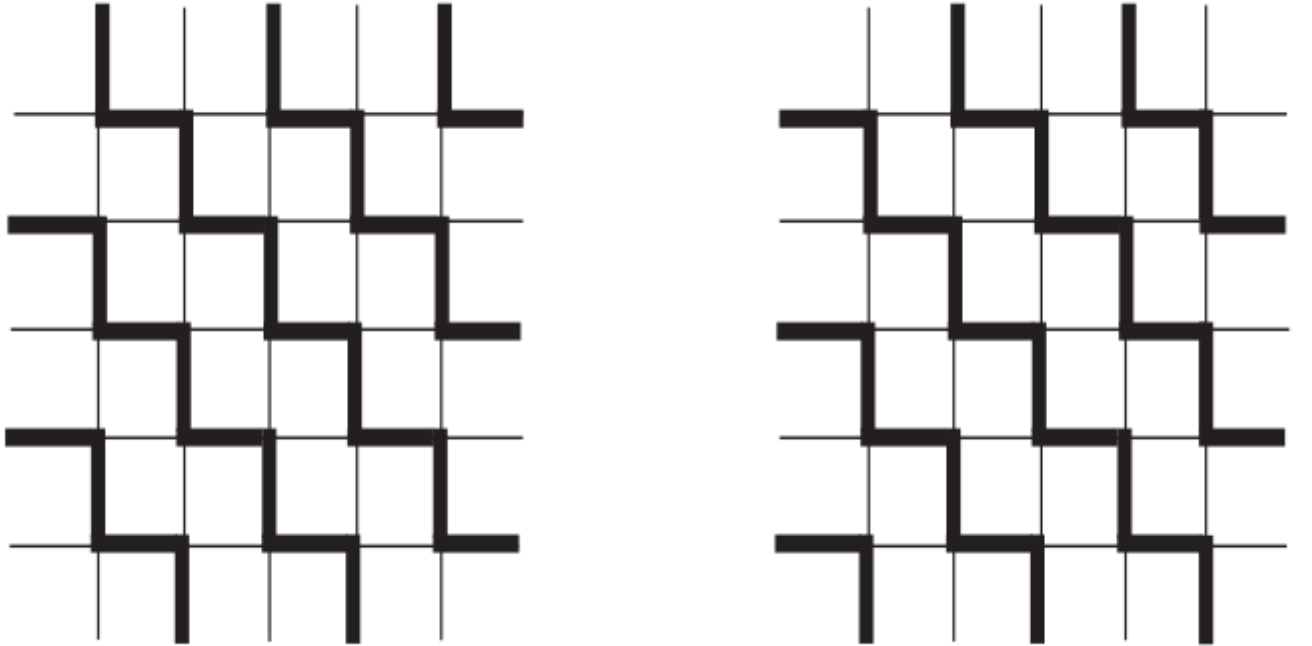


Рис. 4: Вид конфигурации с минимальной энергией вдали от границ в случае  $\Delta < -1$

за исключением того факта, что при четных  $N$  (по нашей гипотезе, напомним,  $N = 2n$ ) такая конфигурация невозможна при периодических граничных условиях. Однако логично ожидать, что "замороженное состояние" имеет такой вид вдали от границ. 3)  $|\Delta| < 1$  - фаза III - в этой фазе нет состояния с упорядоченными вершинами. Выделенная полуокружность - это случай  $\Delta = 0$ , в этом случае задача диагонализации трансфер-матрицы решается и при конечном размере решетки с помощью свободных фермионов и преобразования Йордана-Вигнера.